

مدل‌سازی ریاضی و طراحی نرم‌افزار مناسب جهت هیپ‌لیچینگ کانی‌های اکسیده مس

احمد خدادادی^{۱*}، سید جواد کلینی^۱، علیرضا ربیعه^۲، قنبر علی شیخ زاده^۳، مسعود حسنی^۲

۱-دانشیار بخش مهندسی معدن دانشکده فنی و مهندسی دانشگاه تربیت مدرس، akdarban@modares.ac.ir

۲-دانشجوی کارشناسی ارشد فراوری مواد معدنی، دانشکده فنی و مهندسی دانشگاه تربیت مدرس، m.hasani@modares.ac.ir

۳-استادیار گروه مکانیک دانشکده فنی و مهندسی دانشگاه کاشان

(دریافت ۱۵ بهمن ۱۳۸۷، پذیرش ۲۴ مرداد ۱۳۸۸)

چکیده

مدل‌سازی ریاضی عملیات استخراج فلز مس به روش استخراج توده‌ای موضوع بسیاری از تحقیقات انجام گرفته در زمینه استخراج فلزات در سال‌های اخیر بوده است. اما بهدلیل حیمی بودن عملیات هیپ‌لیچینگ، مدل‌سازی ریاضی این عملیات می‌تواند چشم‌اندازهای جالبی را برای اهداف طراحی مهیا سازد. از آجایی که فروشوبی ستونی بهترین گزینه برای شبیه‌سازی هیپ‌لیچینگ می‌باشد، در این پژوهش بر مبنای یک مدل ریاضی، نرم‌افزاری به زبان ویژوال بیسیک، جهت مدل‌سازی فروشوبی ستونی کانی‌های اکسیده مس سرچشمه، تهیه گردید. این مدل ریاضی بر اساس موازنۀ جرم، همراه با واکنش شیمیایی و در حالت ناپایا ارائه شده است. این مدل می‌تواند اثر عوامل موثر بر بازده استخراج از قبیل دانه بندی خوارک، زمان جریان حلال، میزان تراکم، نرخ پاشش، درجه حرارت عملیات و غلظت حلال مورد استفاده را در پیش‌بینی نتایج استخراج تعیین نماید. برای تایید صحت مدل نیز از تست‌های ستونی متعددی در مقیاس آزمایشگاهی استفاده و نتایج بسیار مناسبی حاصل گردید که نشان‌دهنده تطابق نتایج نرم‌افزار با نتایج آزمایشگاهی می‌باشد. حلال مورد استفاده در این آزمایش‌ها، اسید سولفوریک رقیق بود. با بررسی نتایج حاصل از آزمایش‌ها و مدل می‌توان در شرایط مختلف، میزان استخراج مس را پیش‌بینی نمود.

کلمات کلیدی

هیپ‌لیچینگ، فروشوبی ستونی، مدل‌سازی، موازنۀ جرم

* عهدهدار مکاتبات

ریاضی برای استخراج توده‌ای مس از ذرات کروی شکل بر اساس قانون بقای جرم در حالت ناپایا ارائه و سپس بر مبنای مدل فوق برنامه‌ای کامپیوتربی با نام اختصاری ^۳ MMCHL تهیه گردید. این برنامه می‌تواند اثر عوامل موثر بر استخراج از قبیل دانه بنده خوراک، غلظت مس در سنگ بستر، عمق بستر، زمان جریان حلال، میزان تراکم، نرخ پاشش، غلظت حلال مورد استفاده را در پیش‌بینی عیار مس در محلول خروجی تعیین نماید.

۲- معادلات حاکم، شرایط اولیه و شرایط مرزی

مدل‌سازی فرآیندهای موجود در استخراج توده‌ای در دو بخش انجام می‌شود. بخش اول شامل مدل‌سازی حرکت و نفوذ محلول از میان بستر و داخل ذرات می‌باشد. این بخش شامل یک مدل سیالاتی ذره برای نفوذ محلول در داخل ذرات و یک مدل سیالاتی بستر برای حرکت و نفوذ محلول در بین ذرات می‌باشد. بخش دوم شامل مدل‌سازی فرآیندهای سیالاتی حرکت و نفوذ اسید در داخل بستر و داخل ذرات، واکنش شیمیایی اسید با کانی مورد نظر و نفوذ و حرکت محصول واکنش در داخل ذره و داخل بستر می‌باشد. این بخش نیز شامل دو مدل است. مدل اول مربوط به فرآیندهایی است که در ذره رخ می‌دهد و بعنوان مدل واکنشی ذره از آن نام برده می‌شود و مدل دوم مربوط به فرآیندهایی است که در بستر رخ می‌دهد و بعنوان مدل واکنشی بستر نامیده می‌شود^[۶].

۲-۱- مدل‌سازی نفوذ محلول در داخل ذرات: مدل سیالاتی ذره

معادله بقای جرم در داخل ذره بصورت زیر است^[۶]:

$$\frac{\partial \varepsilon_{lp}}{\partial t} = \frac{1}{r^2} \frac{\delta}{\delta r} \left[r^2 D_{lp} \frac{\delta \varepsilon_{lp}}{\delta r} \right] + \frac{q_{lp}}{\rho_l} \quad (1)$$

که در آن زیر نویس p مربوط به ذره می‌باشد و q بیانگر جرمی است که به محلول وارد یا از آن خارج می‌شود. نیز بیانگر میزان محلول موجود در ذره است. همچنین:

D_{lp} : ضریب پخش

r : شعاع ذره

ρ_l : چگالی ذره

برای تعیین توزیع محتوای محلول در هر نقطه از سنگ، معادله ۱ در هر لحظه از زمان و هر شعاع از ذره باید حل شود. برای حل معادله فوق یک شرط اولیه و یک شرط مرزی مورد نیاز است. در ابتدای عملیات، محتوای محلول در داخل ذره یکنواخت فرض می‌شود، لذا شرط اولیه عبارت است از:

۱- مقدمه

در سالیان اخیر، هیپ لیچینگ کاربردهای فراوانی بهویژه در استخراج مس داشته است که این امر به دلیل هزینه پایین، سادگی عملیات، مزایای زیست محیطی و قابلیت استخراج فلزات با عیار پایین در عملیات هیپ لیچینگ می‌باشد. در این روش در محل آماده شده توده‌ای از سنگ خرد شده معدن به ارتفاع ۱۵-۱۰ متر ریخته می‌شود. سپس عامل لیچینگ از بالای توده بر روی تل پاشیده می‌شود و توسط جوی کوچکی که در انتهای شب زمین تعییه شده است، جمع‌آوری می‌گردد. وزن ماده معدنی ممکن است ۱۰۰ تا ۲۰۰ هزار تن و مساحت هیپ ۱۰۰ تا ۱۰۰۰ متر مربع باشد^[۱].

به منظور مدل‌سازی این هیپ‌ها از تعداد زیادی آزمایش‌های ستونی و نیز آزمایش‌هایی در مقیاس نیمه صنعتی بهره گرفته می‌شود. اما با توجه به حجم بودن عملیات هیپ لیچینگ، جامع‌ترین تست‌های ستونی نیز نمی‌توانند با دقت بالا، رفتار هیپ در مقیاس واقعی را پیش‌بینی کنند. لذا مدل‌سازی ریاضی این عملیات می‌تواند چشم‌اندازهای جالبی را برای اهداف طراحی مهیا سازد. محققین بسیاری کوشش نموده‌اند تا به بررسی پدیده‌های مهم و شناخت فرآیندهای سیالاتی عملیات هیپ لیچینگ پرداخته و با ارائه مدلی ریاضی، آن را شبیه‌سازی نمایند. رومان^۱ و همکارانش^[۲] نتایج تست‌های ستونی را با مدل هسته واکنش نکرده، شبیه سازی و مدلی برای لیچینگ صنعتی سنگ‌های اکسیدی مس ارائه نموده‌اند. کاتلس^۲ مدلی غیر دائم و یک بعدی برای توصیف لیچینگ باطله کم عیار مس ارائه نمود که شامل معادلات موازنۀ جرم اکسیژن، حرارت و جابجایی هوا می‌باشد.

همچنین با در نظر گرفتن نحوه جریان سیال-گاز، از بین ذرات، الگویی جهت مدل‌سازی هیپ لیچینگ ارائه شده است^[۴]. در این مدل، ذرات، کروی شکل و هم‌اندازه در نظر گرفته شده‌اند. پایه و اساس این مدل، موازنۀ جرم و تغییرات مومنتوم سیال است. بر اساس تست‌های ستونی آزمایشگاهی، مدلی برای هیپ لیچینگ سولفیدهای روی نیز ارائه شده است. جهت بررسی سینتیک انحلال کانه، از مدل Shrinking core استفاده شده است و در نهایت دبی پاشش و ارتفاع هیپ پارامترهای موثر اصلی معرفی شده‌اند^[۵].

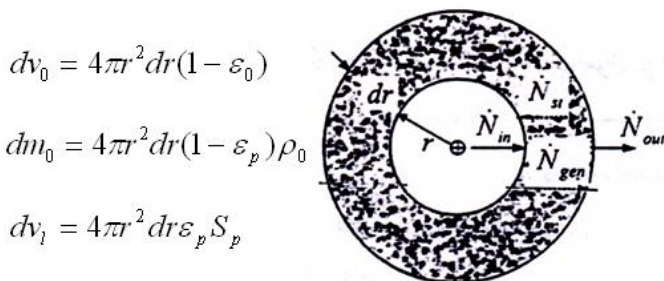
مهم‌ترین امتیاز این قبیل مدل‌سازی‌ها این است که از انجام تست‌های آزمایشگاهی فراوان که مستلزم صرف هزینه و زمان است، جلوگیری به عمل می‌آید. در این پژوهش در ابتدا مدلی

مول خروجی از المان، N_{gen} نرخ مول تولیدی در المان و N_{st} نرخ مول ذخیره شده در المان باشد، طبق قانون بقای جرم داریم:

$$N_{in} - N_{out} + N_{gen} = N_{st} \quad (7)$$

$$N_{out} = N_{in} + \frac{\partial N_{in}}{\partial r} dr \quad (8)$$

با استفاده از تقریب خطی بسط تیلور بدست می آید:



شکل ۱: موازنۀ مولی روی یک المان دیفرانسیلی کروی

برای محاسبه نرخ جرم ورودی به المان از قانون فیک [۵] استفاده می شود:

$$N_{in} = -D_A A \frac{\partial C_A}{\partial l}$$

و با توجه به شکل ۱، معادلات زیر حاصل می شوند:

$$N_{in} = -D_A (4\pi r^2 \varepsilon_p S_p) \frac{\partial C_{AP}}{\partial r}$$

$$N_{in} = -4\pi r^2 D_{Ae} S_p \frac{\partial C_{AP}}{\partial r} \quad (9)$$

که در آن، D_A ضریب نفوذ اسید در محلول درون خلل و فرج سنگ، ε_p غلظت اسید، S_p میزان تخلخل، D_{Ae} ضریب نفوذ موثر اسید می باشد. تخلخل، τ تور توزیته و C_A مقدار خالص مول بدین ترتیب با توجه به معادله های ۸ و ۹، تعداد خالص مول ورودی به المان بصورت زیر تعیین می شود:

$$N_{in} - N_{out} = 4\pi D_{Ae} \frac{\partial}{\partial r} \left[r^2 S_p \frac{\partial C_{AP}}{\partial r} \right] dr \quad (10)$$

از طرف دیگر نرخ تغییرات جرم اسید در داخل المان فرضی کروی عبارتست از:

$$N_{st} = \frac{\partial}{\partial t} (4\pi r^2 dr \varepsilon_p S_p C_{AP})$$

$$\Rightarrow N_{st} = 4\pi r^2 dr \varepsilon_p \frac{\partial}{\partial t} (S_p C_{AP}) \quad (11)$$

$$\varepsilon_{lp}(r, z, 0) = \varepsilon_{lp0} \quad (2)$$

که در آن، ε_{lp0} محتوای اولیه محلول داخل ذره می باشد. شرط مرزی نیز از برابری پتانسیل در فصل مشترک ذره و بستر یعنی سطح ذره نتیجه می شود. با توجه به اینکه در یک موقعیت خاص از بستر، عبارت عمق (Z) در پتانسیل (h) مربوط به ذره و بستر یکسان می باشد، لذا:

$$h_{lp}(R, z, t) = h_{lb}(z, t) \quad (3)$$

که زیر نویس b مربوط به بستر می باشد.

-۲- مدل سازی نفوذ محلول در داخل بستر: مدل سیالاتی بستر معادله بقای جرم محلول در بستر متخلخل، بصورت زیر ساده می شود [۶]:

$$\frac{\partial \varepsilon_{lb}}{\partial t} = \frac{\partial}{\partial z} \left[D_{lb} \frac{\partial \varepsilon_{lb}}{\partial z} \right] - \frac{\partial k_{lb}}{\partial z} + \frac{q_{lb}}{\rho_l} \quad (4)$$

که در آن، k_{lb} ضریب هدایت هیدرولیکی بستر است. برای تعیین توزیع محلول در هر نقطه از بستر معادله ۴ در هر لحظه از زمان و هر ارتفاع از بستر باید حل شود. برای حل این معادله یک شرط اولیه و یک شرط مرزی مورد نیاز می باشد. در ابتدای عملیات، محتوای محلول در داخل بستر یکنواخت فرض می شود، لذا شرط اولیه عبارتست از:

$$(5)$$

$$\varepsilon_{lb}(z, 0) = \varepsilon_{lb0}$$

در پایین بستر، فرض می شود که محلول از محیطی بدون مقاومت و در فشار اتمسفر خارج می شود، لذا گرادیان محتوای محلول در خروجی صفر خواهد بود:

$$\left. \frac{\partial \varepsilon_{lb}(z, t)}{\partial z} \right|_{z=H} = 0 \quad (6)$$

که در آن H ارتفاع بستر می باشد.

با حل معادلات ۱ و ۴ همراه با شرایط اولیه و مرزی، مقدار محتوای مایع بستر و ذره در مکان های مختلف بستر و در زمان های مختلف تعیین می شود.

-۳- مدل سازی نفوذ اسید، واکنش اسید با کانی و نفوذ

جزء های حل شده در داخل ذره: مدل واکنشی ذره با در نظر گرفتن یک المان دیفرانسیلی کروی (شکل ۱)، از سنگ و انجام موازنۀ جرمی روی آن معادله پیوستگی اسید به دست می آید. اگر N_{in} نرخ مول ورودی به المان، N_{out} نرخ

$$(1-\varepsilon_p)\rho_o \sum_{i=1}^n \frac{1}{b_i} (K_{pi} C_{Bpi}^{\gamma_{pi}} C_{Ap}) = \varepsilon_p \frac{\partial}{\partial t} (S_p C_{Ap})$$

به منظور تعیین توزیع غلظت اسید در هر نقطه از سنگ، معادله فوق در هر لحظه از زمان و در هر شاعع از ذره باید حل شود. برای حل این معادله یک شرط اولیه و یک شرط مرزی مورد نیاز می‌باشد. غلظت اولیه اسید در داخل سنگ صفر می‌باشد، پس شرط اولیه عبارتست از:

$$C_{Ap}(r,z,0)=0 \quad (16)$$

غلظت اسید روی سطح سنگ با غلظت اسید در محلول داخل بستر در آن محل برابر است:

$$C_{Ap}(R,z,t) = C_{Ab}(z,t) \quad (17)$$

۴-۲- مدل‌سازی جابجایی اسید و جزء‌های حل شده کانی در داخل بستر: مدل واکنشی بستر

به طریقی مشابه با مشخص کردن عبارتهای N_{gen} , N_{st} , N_{in} و انجام موازنی مولی معادله پیوستگی اسید به دست می‌آید:

$$\begin{aligned} & -\frac{1}{\varepsilon_b} \frac{\partial}{\partial z} (u C_{Ab}) dz - \frac{3}{R} \frac{(1-\varepsilon_b)}{\varepsilon_b} \\ & \left(D_{Ae} S_p \frac{\partial C_{Ap}}{\partial r} \Big|_{r=R} + \sum_{i=1}^n \frac{K_{si} C_{Bsi}^{\gamma_{si}} C_{Ab}}{b_i} \right) \end{aligned} \quad (18)$$

که در آن u سرعت محلول در بین ذرات می‌باشد. برای تعیین توزیع غلظت اسید در هر نقطه از بستر، معادله فوق در هر لحظه از زمان و در هر ارتفاع از بستر باید حل شود. برای حل این معادله یک شرط اولیه و یک شرط مرزی مورد نیاز می‌باشد. غلظت اولیه اسید در داخل بستر صفر است، پس شرط اولیه عبارتست از:

$$C_{Ap}(z,0)=0 \quad (19)$$

غلظت اسید در بالای بستر، همان غلظت اسید پاشش شده، C_{A0} می‌باشد:

$$C_{Ab}(0,t) = C_{A0} \quad (20)$$

۳- متغیرها و پارامترهای مدل

همچنین معادله سرعت واکنش در هر نقطه از سنگ، با فرض اینکه سرعت واکنش با غلظت اسید از مرتبه اول و با غلظت کانی از مرتبه γ ارتباط مستقیم داشته باشد، بصورت زیر خواهد بود [۵]:

(12)

$$\frac{dC_{Bpi}}{dt} = -k_{pi} C_{Bpi}^{\gamma_{pi}} C_{Ap}$$

که در آن، C_{Bpi} عیار اولیه کانی آم (بر حسب مول بر جرم سنگ) موجود در خلل و فرج سنگ می‌باشد. با توجه به اینکه معادله ۱۲، نرخ تغییر مول کانی به ازای واحد جرم سنگ را بیان می‌کند، می‌توان نرخ تغییر مول کانی را در المان مورد نظر بصورت زیر تعیین نمود:

(13)

$$\begin{aligned} \frac{dN_{Bpi}}{dt} &= dm_o \frac{dC_{Bpi}}{dt} \\ \Rightarrow \frac{dN_{Bpi}}{dt} &= 4\pi r^2 dr (1-\varepsilon_p) \rho_0 \frac{dC_{Bpi}}{dt} \end{aligned}$$

نسبت مول‌های حل شده کانی به مول‌های اسید مصرف شده برابر با عدد استوکیومتری می‌باشد [۵]. لذا با توجه به معادله ۱۳ نرخ مصرف اسید (بر حسب مول) به ازای انحلال کانی آم عبارتست از:

$$\frac{dN_A}{dt} = \frac{1}{b_i} \frac{dN_{Bpi}}{dt} = \frac{1}{b_i} 4\pi r^2 dr (1-\varepsilon_p) \rho_0 \frac{dC_{Bpi}}{dt}$$

$$N_{g.i} = \frac{1}{b_i} 4\pi r^2 dr (1-\varepsilon_p) \rho_0 (-K_{pi} C_{Bpi}^{\gamma_{pi}} C_{AP})$$

$$N_g = -4\pi r^2 dr (1-\varepsilon_p) \rho_0 \sum_{i=1}^n \frac{1}{b_i} K_{pi} C_{Bpi}^{\gamma_{pi}} C_{AP} \quad (14)$$

با مشخص شدن عبارتهای N_{gen} , N_{st} , N_{in} و N_{out} موازنی مولی با توجه به معادلات ۷، ۱۰، ۱۱ و ۱۴ انجام می‌گیرد:

$$\begin{aligned} 4\pi D_{Ae} \frac{\partial}{\partial r} \left[r^2 S_p \frac{\partial C_{AP}}{\partial r} \right] dr - 4\pi r^2 dr (1-\varepsilon_p) \rho_o \sum_{i=1}^n \frac{1}{b_i} (K_{pi} C_{Bpi}^{\gamma_{pi}} C_{Ap}) &= 4\pi r^2 dr \varepsilon_p \frac{\partial}{\partial t} (S_p C_{Ap}) \end{aligned}$$

و با ساده‌سازی لازم معادله پیوستگی اسید به دست می‌آید:

$$D_{Ae} \frac{1}{r^2} \frac{\partial}{\partial r} \left[r^2 S_p \frac{\partial C_{AP}}{\partial r} \right] - \quad (15)$$

الگوریتم قسمت اصلی برنامه در شکل ۲ نشان داده شده است. در این الگوریتم ابتدا پارامترهای ورودی برنامه که شامل خواص فیزیکی، شیمیایی بستر و ذرات (از قبل ارتفاع بستر، قطر ذرات و عیار کانی مورد نظر)، شرایط محلول ورودی (از قبل دبی محلول و غلظت اسید)، سیکل های پاشش و توقف (زمان کل و دوره تناوب) و تعداد نقاط شبکه (درجهت شعاع ذره و عمق بستر و تعداد گام های زمانی) از طریق زیر برنامه INPUT به برنامه وارد و در زیر برنامه دیگری به نام GRID، شبکه محاسباتی تنظیم می گردد. سپس در زیر برنامه INIT، مقادیر اولیه در نقاط شبکه جایگزین می شود.

جدول ۲: علایم اختصاری متغیرهای بستر و ذرات

ردیف	علامت اختصاری	توضیح
۱	H	ارتفاع بستر(Cm)
۲	R _P	متوسط شعاع ذرات (Cm)
۳	C _B	عيار مس در خوارک ورودی
۴	E _P	تخلخل ذره
۵	E _B	تخلخل بستر
۶	S _{P0}	اشبع اولیه ذرات
۷	S _B	اشبع اولیه بستر
۸	RHO _O	چگالی کانسنتراشن (g/Cm ^۳)

جدول ۳: علایم اختصاری متغیرهای عمومی

ردیف	علامت اختصاری	توضیح
۱	NDay	مدت زمان عملیات (روز)
۲	Maxit	بیشترین تعداد تکرار محاسبات در برنامه
۳	Error	خطای مجاز برنامه
۴	NR	تعداد نقاط شبکه درجهت شعاع ذره
۵	NZ	تعداد نقاط شبکه درجهت ارتفاع بستر
۶	NT	تعداد فواصل زمانی محاسبات

پس از تعیین شرایط اولیه حلقه زمانی شروع می شود. ابتدا محاسبات مربوط به مدل های سیالاتی در برنامه فرعی SAYAL انجام گرفته که درنتیجه آن درجه اشباع در هر شعاع ذره و هر عمقی از بستر، و سرعت محلول در هر عمقی از بستر محاسبه و سپس محاسبات مربوط به مدل های واکنشی

پس از مشخص کردن مدل ریاضی برنامه، می بایست متغیرها و پارامترهای برنامه را مشخص نمود. به طور کلی متغیرهای برنامه به سه دسته اصلی متغیرهای محلول اسیدی، متغیرهای بستر و ذرات و متغیرهای عمومی برنامه دسته بندی می شوند. پارامترهای مدل نیز شامل k، BI و γ هستند که به ترتیب نشانگر ثابت واکنش، عدد استنکیومتری و مرتبه واکنش می باشند. در ادامه هریک از این متغیرها و پارامترها مورد بررسی قرار می گیرد.

۱-۳- متغیرهای محلول

در این پژوهش از اسید سولفوریک رقیق جهت فروشوبی مس استفاده شد. متغیرهای محلول شامل مشخصات اصلی اسید مصرفی در فروشوبی است که شامل غلظت اسید مصرفی، نرخ جریان اسید مصرفی و ویسکوزیته آن می باشند. در جدول ۱ متغیرهای این بخش به همراه علامت اختصاری استفاده شده در برنامه آورده شده است.

جدول ۱: علایم اختصاری متغیرهای محلول

ردیف	علامت اختصاری	توضیح
۱	CA	غلظت اسید مصرفی(g/L)
۲	QL	نرخ جریان اسید (Cm ^۳ /min)
۳	MUL	ویسکوزیته اسید (g/Cm.s)

۲-۳- متغیرهای بستر و ذرات

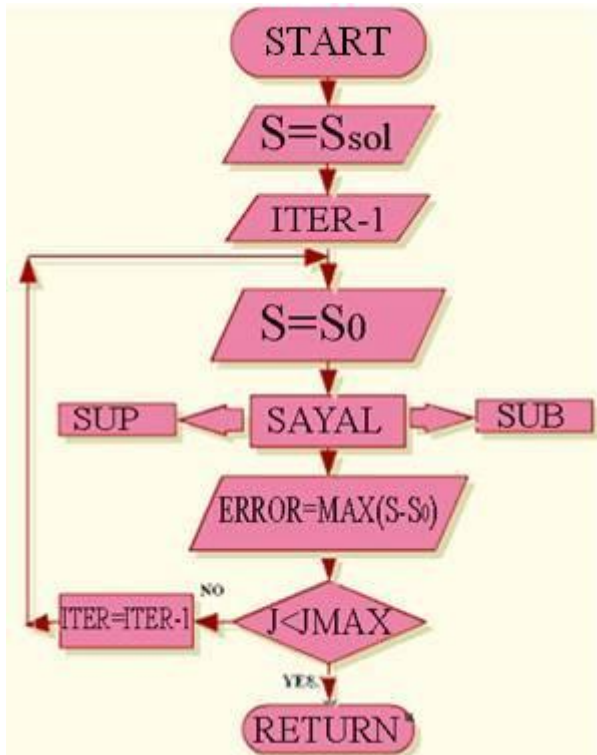
متغیرهای بستر و ذرات شامل مشخصات اصلی ذرات تشکیل دهنده بستر در فروشوبی است که عبارتند از: ارتفاع بستر، متوسط شعاع ذرات، تخلخل ذرات و بستر و درجه اشباع اولیه ذرات و بستر. در جدول ۲ متغیرهای این بخش به همراه علامت اختصاری استفاده شده در برنامه، آورده شده است.

۳-۳- متغیرهای عمومی

متغیرهای عمومی شامل مدت زمان عملیات، تعداد نقاط شبکه درجهت شعاع ذره، تعداد نقاط شبکه درجهت ارتفاع بستر، تعداد فواصل زمانی محاسبات، بیشترین تعداد تکرار محاسبات در برنامه و خطای مجاز برنامه می باشد. در جدول ۳ متغیرهای این بخش به همراه علامت اختصاری استفاده شده در برنامه آورده شده است.

۴- الگوریتم برنامه

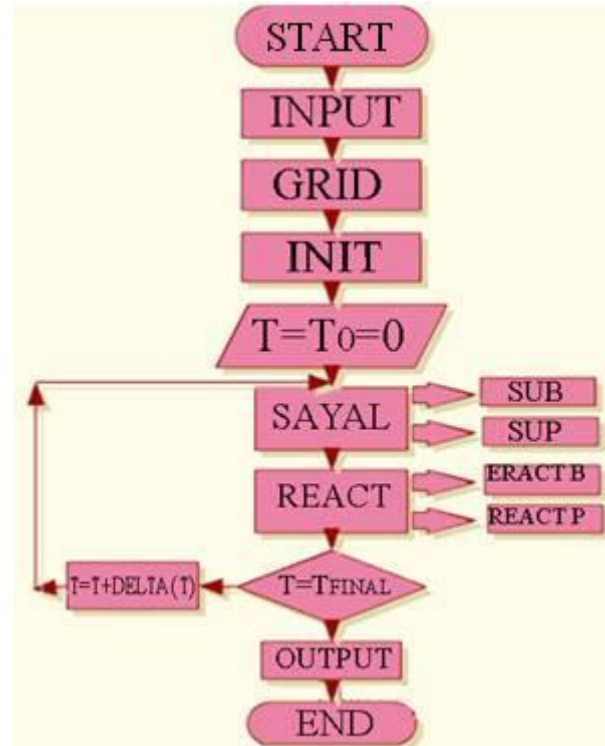
- ۱) جایگزینی مقادیر درجه اشباع ذره و بستر از زمان قبل به عنوان مقادیر حدس زمان فعلی
- ۲) اعمال شرایط مرزی مربوط به بالاترین و پایین‌ترین نقطه بستر
- ۳) در هر نقطه از عمق بستر:



شکل ۳: الگوریتم زیر برنامه SAYAL

- الف) شرایط روی سطح ذره با توجه به شرایط موجود در بستر
- ب) تعیین شار جرمی روی سطح ذره
- ج) تعیین خواص بستر(فشار، ضریب هدایت هیدرولیکی و ضریب نفوذ سیال)
- ۴) محاسبه درجه اشباع بستر در هر نقطه از عمق بستر
- ۵) اعمال شرایط مرزی مربوط به مرکز و سطح ذره
- ۶) تعیین پارامترهای خواص ذره (فشار، ضریب هدایت هیدرولیکی و ضریب نفوذ سیال) در هر نقطه از عمق بستر و هر شعاع ذره
- ۷) محاسبه درجه اشباع ذره در هر نقطه از عمق بستر و هر شعاع ذره
- ۸) تعیین بیشینه خطای نسبی درجه اشباع ذره و بستر و مقایسه با مقدار خطای مجاز
- ۹) تکرار مراحل ۲ تا ۸ تا رسیدن به بیشینه خطای نسبی کمتر از خطای مجاز

در برنامه فرعی REACT انجام می‌گیرد که در نتیجه آن توزیع غلظت‌های اسید و کانی و محصولات واکنش در ذره و بستر تعیین و در نهایت نتایج برنامه در فایل خروجی ذخیره می‌شود.



شکل ۲: الگوریتم اصلی برنامه

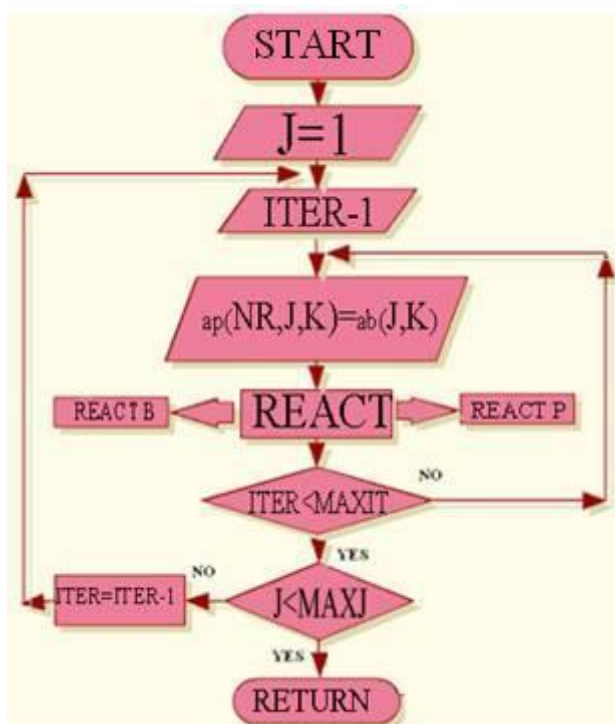
برای ارتباط دادن فشار ضریب هدایت هیدرولیکی، ضریب نفوذ سیال و غیره از روابط ریاضی ذکر شده در بخش ۲ استفاده می‌شود. محاسبات فوق در زیر برنامه VAN، انجام و پس از خواندن مقادیر اولیه از طریق زیر برنامه INPUT، مقادیر فشار، ضریب هدایت هیدرولیکی، ضریب نفوذ و غیره با اجرای این برنامه محاسبه می‌شود.

الگوریتم زیر برنامه SAYAL در شکل ۳ نشان داده شده است. همانطور که قبلاً ذکر شد، در این زیر برنامه محاسبات مربوط به مدل‌های سیالاتی انجام می‌گیرد. ابتدا مقادیر درجه اشباع زمان قبل بعنوان مقادیر حدسی برای زمان فعلی در نظر گرفته شده و این مقادیر جهت مقایسه در یک متغیر موقتی ذخیره و سپس توسط زیر برنامه‌های SUB و SUP درجه اشباع بستر و ذره با روش تکرار محاسبه می‌شوند. ترتیب حل معادلات مدل‌های سیالاتی در هر مرحله زمانی به این صورت می‌باشد:

از منوی Run انتخاب شود. سپس برنامه براساس پارامترهای ورودی شروع به مدل سازی می شماید. برای مشاهده نتایج این مدل سازی نیز باید گزینه Graph، را از منوی Run انتخاب گردد که در این حالت نرم افزار، نموداری را رسم کرده و عیار مس خروجی را تعیین می شماید.

۶- آزمایش ها

عملیات استخراج توده ای در مقیاس آزمایشگاهی، معمولاً بصورت تست ستونی انجام می شود. در این پژوهش نیز برای بررسی صحت نتایج حاصل از مدل سازی آزمایش هایی با شرایط مختلف بصورت تست های ستونی روی خاک اکسیدی معدن مجتمع مس سرچشمہ انجام شده است که در ادامه به تشریح این تست ها پرداخته می شود [۶]. هدف از انجام این آزمایش ها، بررسی تاثیر پارامترهای ارتفاع هیپ، دما، غلظت اولیه محلول واکنش دهنده و غلظت مس درخوارک اولیه بر استخراج فلز مس می باشد. در جدول ۴ مقدار پارامترها آورده شده است.



شکل ۴: الگوریتم زیر برنامه مدل های واکنشی

- ۱۰) محاسبه سرعت محلول در هر نقطه از بستر پس از تعیین درجه اشباع و سرعت محلول، محاسبات مربوط به مدل های واکنشی در زیر برنامه REACT انجام می شود. الگوریتم برنامه فرعی REACT در شکل ۴ نشان داده شده است. ترتیب حل معادلات مدل های واکنشی در هر مرحله زمانی به این صورت می باشد:
- ۱) جایگزینی مقدار غلظت ها در ذره و بستر، از زمان قبل به عنوان مقدار حدس زمان فعلی
- ۲) اعمال شرایط مرزی مربوط به بالاترین نقطه بستر
- ۳) در بالاترین نقطه بستر با استفاده از مقدار زمان قبل و شرایط مرزی، محاسبه توزیع غلظت اسید، غلظت جامد واکنش دهنده و غلظت جز حل شده جامد واکنش دهنده در داخل ذره با استفاده از الگوریتم توماس
- ۴) برای مکان بعدی در بستر ابتدا تعیین شرایط روی سطح ذره با توجه به شرایط موجود در بستر و سپس محاسبه توزیع غلظت اسید، غلظت جامد واکنش دهنده و غلظت جز حل شده جامد واکنش دهنده در داخل ذره با استفاده از الگوریتم توماس
- ۵) محاسبه شار جرمی اسید و جز حل شده جامد واکنش دهنده در سطح ذره
- ۶) تعیین غلظت اسید و غلظت جز حل شده جامد واکنش دهنده در بستر

- ۷) تکرار مراحل ۴ تا ۶ تا آخرین نقطه مکانی در بستر
- ۸) تکرار مراحل ۲ تا ۷ تاریخ دن به همگرایی لازم تعداد نقاط شبکه در ذره و بستر بسته به شعاع ذره و ارتفاع بستر انتخاب و فاصله زمانی نیز بسته به مدت زمان عملیات انتخاب می گردد.

۵- روش اجرای برنامه

برنامه مدل سازی فروشوبی توده ای کانسنسگ اکسیده مس به زبان برنامه نویسی ویژوال بیسیک نوشته شده است. برای اجرای برنامه کافیست ابتدا برنامه را از روی لوح فشرده حاوی آن، نصب و سپس آن را اجرا کرد. برای ایجاد پروژه جدید و New انجام مدل سازی نیز لازم است از منوی File گزینه New گزینه

انتخاب شود که نتیجه آن، نمایش شکل ۵ می باشد. در پنجه شکل ۵ پارامترهای ورودی برنامه نمایش داده شده و کاربر می تواند بر احتیتی پارامترهای مورد نیاز برای شروع مدل سازی را وارد نماید. برای انجام این مدل سازی کافی است پس از وارد کردن پارامترهای ورودی برنامه گزینه Simulation



شکل ۵: پنجره پارامترهای ورودی برنامه

جدول ۴: مشخصات پارامترهای ورودی برای بررسی نتایج

آزمایش‌ها														
پارامتر	واحد	اول	دوم	سوم	چهارم	پنجم	ششم	هفتم	هشتم	نهم	دهم	یازدهم	دوازدهم	
CAO	gr/lit	۱۰	۱۰	۱۰	۳۰	۲۰	۱۰	۱۰	۱۰	۱۰	۱۰	۱۰	۱۰	
CCU	gr/lit	۰/۰۰۱	۰/۰۰۱	۰/۰۰۱	۰/۰۰۱	۰/۰۰۱	۰/۰۰۱	۰/۰۰۰۵	۰/۰۰۰۲	۰/۰۰۱	۰/۰۰۱	۰/۰۰۱	۰/۰۰۱	
H	Cm	۱۴	۱۴	۱۴	۵۰	۵۰	۵۰	۱۴	۱۴	۱۴	۴۲	۲۸	۱۴	
Time	day	۳۰	۳۰	۳۰	۳۰	۳۰	۳۰	۳۰	۳۰	۳۰	۳۰	۳۰	۳۰	
Rp	Cm	۱	۱	۱	۱	۱	۱	۱	۱	۱	۱	۱	۱	

۲۰	۱۵	۷/۲	۱۵	۱۵	۱۵	۷/۲	۷/۲	۷/۲	۷/۲	۷/۲	۷/۲	$\text{Lit}/\text{m}^2\text{hr}$	Q
----	----	-----	----	----	----	-----	-----	-----	-----	-----	-----	----------------------------------	---

ورودی افزایش می‌یابد. با افزایش غلظت اسید ورودی مقدار بیشینه غلظت خروجی افزایش یافته و نمودار سریعتر به سمت صفر می‌رود. به عبارت دیگر اگر غلظت اسید ورودی بیشتر باشد، دوره تکمیل لیچینگ یا بازیابی کامل، کاهش می‌یابد. اما اگر غلظت اسید ورودی کمتر باشد، دوره لیچینگ طولانی تر و در نتیجه مقدار و تغییرات غلظت خروجی کمتر خواهد بود. در شکل ۹ اثر غلظت اسید نشان داده شده است.

اثر نرخ پاشش اسید بر غلظت خروجی نیز در شکل ۱۰ نشان داده شده است. با افزایش نرخ پاشش اسید از $7/2$ به 15 لیتر بر متر مربع در یک ساعت، حلal سریعتر به پایین نفوذ کرده و از بستر خارج می‌شود و در نتیجه غلظت خروجی کمتر می‌گردد.

۸- نتیجه گیری

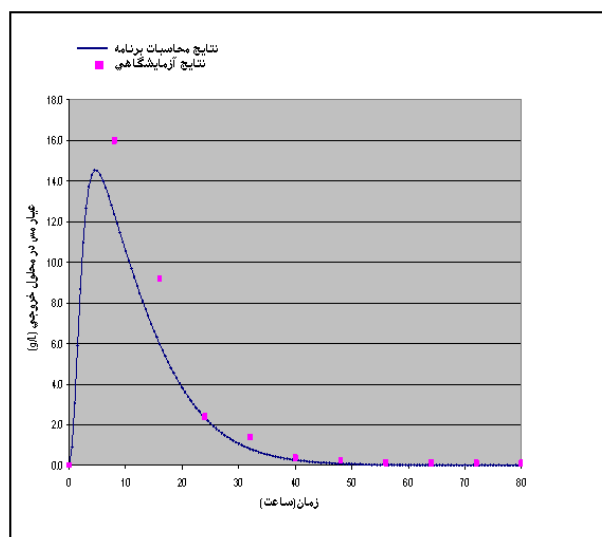
- در این مقاله نرم افزاری برای مدل سازی فرآیندهای موجود در فروشوبی توده‌ای کانی‌های اکسیده مس ارائه شده است. فرضیات بکار رفته در این مدل شامل کروی شکل بودن ذرات، داشتن ساختار یکسان و تقارن می‌باشد. همچنین فرض می‌شود حرکت و نفوذ محلول در بستر در جهت عمودی صورت می‌گیرد. در این مدل تنها انحلال کانی‌های مس‌دار مورد بررسی قرار گرفته و فعل و انفعالات شیمیابی مختلف شامل انحلال کانی‌های دیگر موجود در سنگ، رسوب نمودن سایر کانی‌ها و تشکیل کمپلکس‌ها صرف‌نظر شده است.

- بر مبنای مدل ریاضی موجود، الگوریتم برنامه تهیه و سپس برنامه‌ای به زبان Visual Basic با نام اختصاری MMCHL تهیه گردیده است. این برنامه توانایی رسم نمودار برای عیار مس خروجی و همچنین ذخیره کردن محاسبات و در اختیار قرار دادن نتایج مدل سازی بصورت فایل متی را دارد.

- در پایان نیز به منظور بررسی حوضه تاثیر پارامترهای ارتفاع ستون، غلظت اسید، دبی پاشش و عیار مس در خوارک، برنامه با تغییر این پارامترها و ثابت گرفتن سایر پارامترها، اجرا و مشخص شد که در مورد پارامتر اول یعنی ارتفاع ستون با افزایش این پارامتر مقدار بیشینه عیار مس در محلول خروجی افزایش یافته و همچنین طول زمان عملیات انحلال نیز افزایش می‌یابد. در مورد دبی پاشش اسید با افزایش این پارامتر زمان رسیدن محلول به پایین بستر و خروج محلول از بستر کاهش

۷- نتایج و بحث

به منظور بررسی صحت نتایج نرم افزار، پارامترهای یکی از ستون‌های آزمایش وارد نرم افزار می‌شود. همانطور که در شکل ۶ نشان داده شده است، اگرچه در بعضی نقاط بین نتایج نرم افزار و نتایج آزمایشگاهی، اختلاف وجود دارد، ولی در مجموع تطابق مناسبی وجود دارد.



شکل ۶: مقایسه نتایج نرم افزار با نتایج آزمایشگاهی

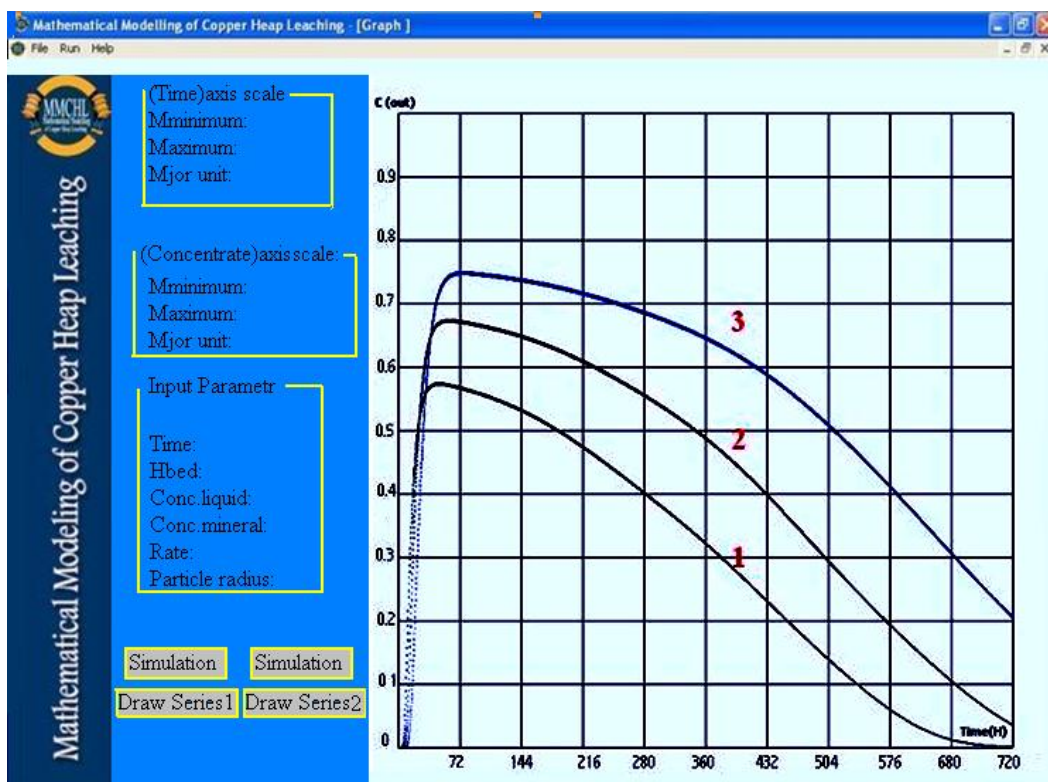
در ستون‌های اول، دوم و سوم، همانطور که در جدول شماره ۴ دیده می‌شود، با ثابت نگاه داشتن سایر پارامترها، جهت ارتفاع تاثیر ارتفاع بستر، ارتفاع ستون‌های آزمایشگاهی را به ترتیب 14 ، 28 و 42 سانتی‌متر قرار داده می‌شود. در شکل ۷ نتایج این آنالیز آورده شده است. با افزایش ارتفاع بستر زمان رسیدن محلول به پایین بستر افزایش یافته، در نتیجه محلول خارج شده دارای غلظت بیشتری خواهد بود.

در ستون‌های چهارم، پنجم و ششم، به منظور بررسی تاثیر عیار مس در خوارک، بر عیار مس خروجی، CCU را به ترتیب $0/001$ ، $0/005$ و $0/002$ قرار می‌دهیم. همانطور که در شکل ۸ نشان داده شده است، هر چه عیار اولیه بیشتر باشد، غلظت خروجی نیز بیشتر خواهد بود. همچنین ملاحظه می‌شود که با افزایش عیار اولیه مدت زمان لیچینگ کامل مس، بهشت افزایش می‌یابد.

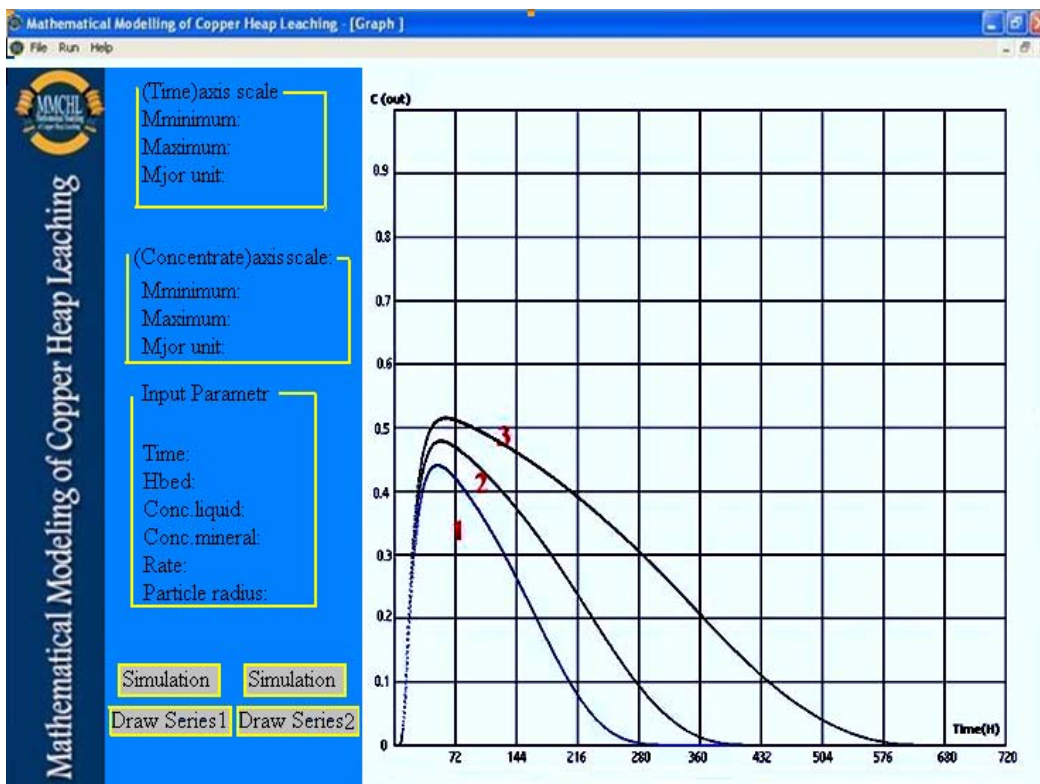
همچنین به منظور بررسی تاثیر غلظت اسید ورودی بر غلظت مس خروجی، با ثابت نگاه داشتن سایر پارامترها، غلظت اسید

مدت عملیات برای استخراج مس نیز کاهش می‌باید و با افزایش عیار مس در ورودی مقدار مس در محلول خروجی افزایش یافته و همچنین مدت زمان عملیات نیز افزایش می‌باید.

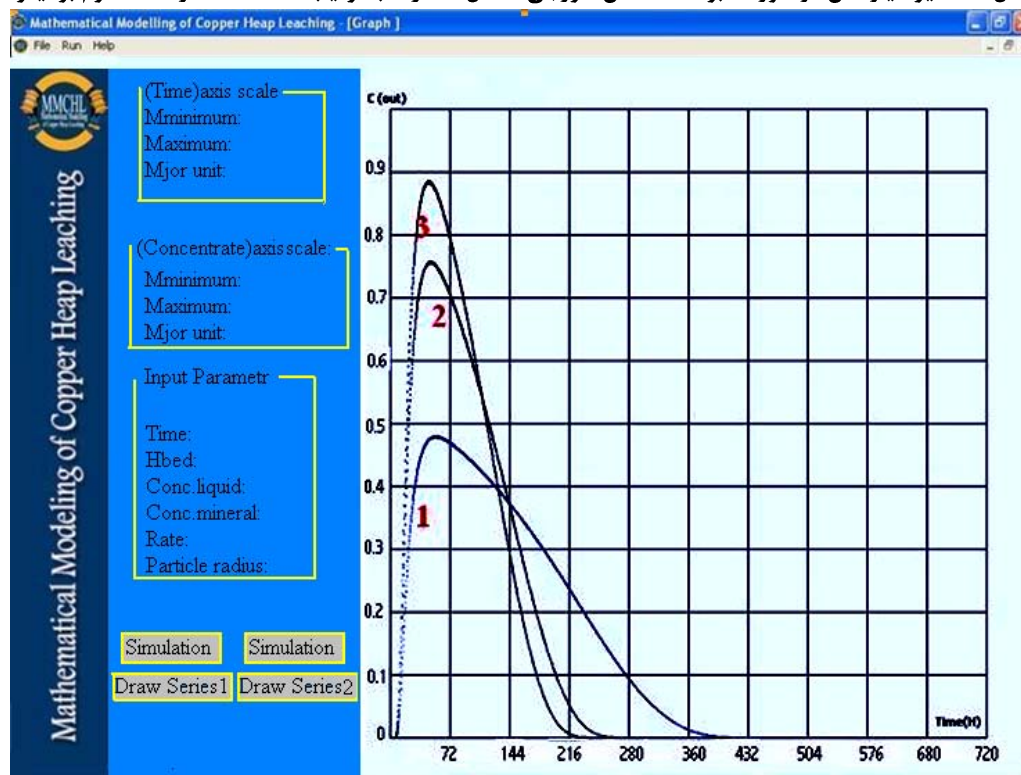
یافته و در نتیجه عیار مس خروجی نیز کاهش می‌باید، لذا محلول خارج شده از بستر دارای غلظت کمتری نسبت به مدت مشابه قبلی بوده است و مقدار بیشینه عیار مس در محلول خروجی نیز کاهش می‌باید و همچنین با افزایش غلظت اسید، عیار مس در محلول خروجی به شدت افزایش یافته و طول



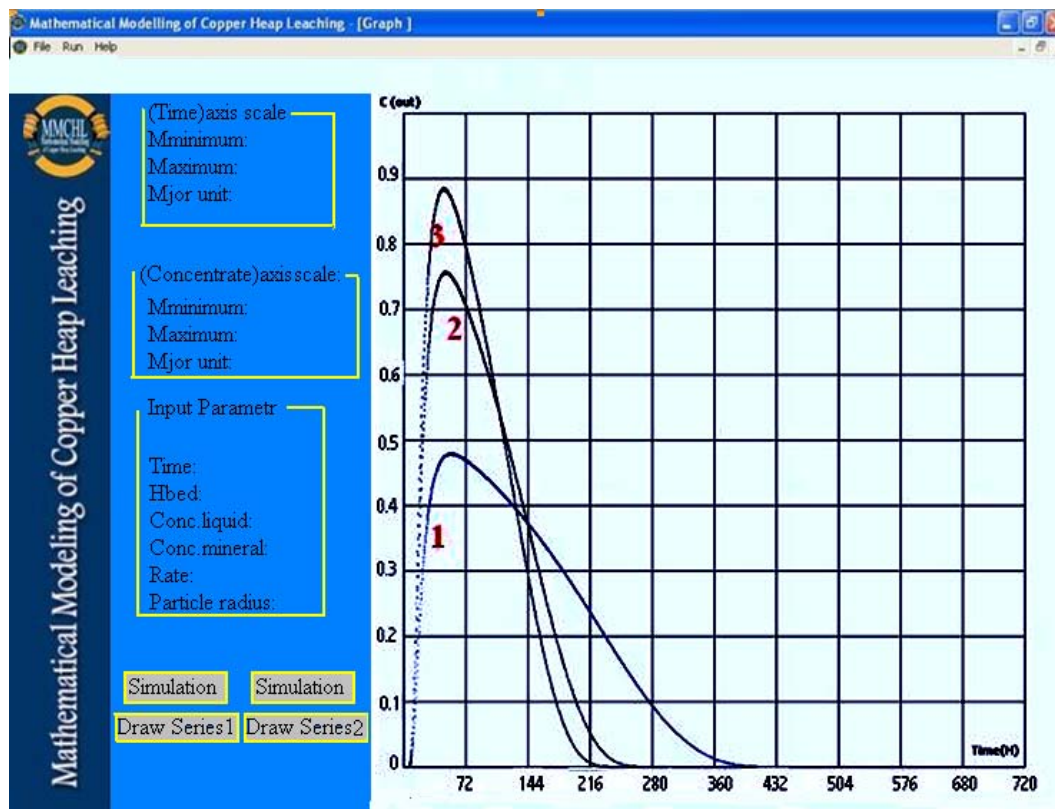
شکل ۷: تأثیر ارتفاع بستر بر غلظت مس خروجی (شکل ۱، ۲، ۳ و ۴ به ترتیب ۱۴، ۲۸، ۴۲ و ۲۰ سانتی‌متر)



شکل ۸: تاثیر عیار مس در خوارک بر غلظت مس خروجی (شکل ۱، ۲ و ۳ به ترتیب ۰/۰۰۱، ۰/۰۰۲ و ۰/۰۰۵ گرم بر لیتر)



شکل ۹: تاثیر غلظت اسید ورودی (شکل ۱، ۲ و ۳ به ترتیب ۱۰، ۲۰ و ۳۰ گرم بر لیتر)



شکل ۱۰: تأثیر دبی پاشش (شکل ۱، ۲ و ۳ به ترتیب ۷/۲، ۱۵ و ۲۰ لیتر بر مترمربع بر ساعت)

فیزیکی ثابت در بستره مت Shank از ذرات کروی و متخلخل خاک معدن؛ رساله دکتری، دانشگاه شهید با هنر کرمان.

[۷] رحمانی، مجید؛ ۱۳۸۳؛ "بهینه سازی عوامل موثر بر فروشی توده ای معدن مس سرچشم"؛ پایان نامه کارشناسی ارشد، دانشگاه تربیت مدرس.

[۸] فرزانگان، اکبر؛ ۱۳۷۹؛ "کنترل و مدل سازی فرایندهای فرآوری مواد معدنی"؛ انتشارات دانشگاه کاشان.

[۹] کارشناسان پایگاه ملی داده های علوم زمین کشور؛ ۱۳۸۲؛ "گزارش عملکرد کارخانه های مس سرچشم"؛ پایگاه ملی داده های علوم زمین کشور.

[10] Bartlett R.W; 1997; "Metal Extraction from ore by Heap Leaching"; Metallurgical and Material Transaction B, Vol. 28B; pp.529-545.

[11] Milly P.C.D; 1994; "Advanced in Modeling of water in the Unsaturated Zone"; Ground Water Flow and Quality Modeling, pp.448-451.

منابع

[۱] حبشي، فتحي؛ ۱۳۸۰؛ "هيدرومتوالوري"؛ كتاب مرجع درسي؛ ترجمه دكترباللهي، دكتر شفائي؛ انتشارات دانشگاه شاهروд.

[2] Roman, R.J, Benner, B.R; 1997; "Diffusion model for heap leaching and its application to scale-up", Transactions of the Society of Mining Engineers of AIME, pp.247-256.

[3] Cathles, L.M, Apps, J.A; 1975; "A model of the dump leaching process that incorporates oxygen balance, heat balance, and air convection"; Metallurgical Transaction B, 6B, pp.617-624.

[4] H.M.Lizama, J.R.Harlamovs, D.J.McKay, Z.Dai; 2005; "Heap leaching kinetics is proportional to the irrigation rate divided by heap height"; minerals engineering; Vol. 18, No. 6, pp 623-630.

[5] Mousavi S.M, Jafari A; 2006; "Computer simulation of fluid motion in a porous bed using a volume of fluid method:application in heap leaching"; minerals engineering; Vol. 19, No. 10, pp 1077-1083.

[۶] شیخ زاده، نوش آبادی؛ قنبر علی؛ ۱۳۸۲؛ "مدلسازی دینامیکی حرکت سیال توازن با واکنش شیمیایی با خواص

پی‌نوشت‌ها

¹ Roman

² Cathles

³ Mathematical Modeling Cooper Heap Leaching